

Day 9 (14) 简单复数的复几何

$$x \rightarrow \text{复数} \rightarrow \text{复数的复几何} \rightarrow \text{复流形} \rightarrow (ds^2 = g_{00}(dt)^2 + g_{11}(dr)^2 + r^2(d\theta)^2 + \sin^2\theta(d\phi)^2).$$

利用复数的复几何和复分析这两个概念，选择合适的参数 \$(t, r, \theta, \phi)\$。施瓦西度量的线元张量场：\$(ds^2 = (-1 - \frac{2M}{r}) dt^2 + (1 - \frac{2M}{r})^{-1} dr^2 + r^2(d\theta)^2 + \sin^2\theta(d\phi)^2)\$。

其中 \$t \in (-\infty, +\infty)\$, \$R \in (0, \infty)\$, \$\theta \in [0, \pi]\$. 在 \$r=2M\$ 处，和 \$r=0\$ 处，度规都有奇性，应为 \$r_s = 2M\$ 是虫洞，且 \$r_s > R\$ 时，我们只会关注虫洞的奇性。

然而奇点具有两面，“虫洞口”是 \$g_{00}\$ 的奇点，而“虫洞口”是 \$g_{00}\$ 并非奇点，但虫洞环补的选择问题使得它的某些奇点是奇异的。

\$r=0\$ 为时空上，\$R=r_s=2M\$ 为虫洞口。

$$\Rightarrow (ds^2 = (-1 - \frac{2M}{r}) (dt^2 + (1 - \frac{2M}{r})^{-1} dr^2) = (-1 - \frac{2M}{r}) [(dt)^2 + (1 - \frac{2M}{r})^{-1} dr^2]). \quad \text{令 } r^* = r + 2M \ln(\frac{r}{2M} - 1).$$

$$\Rightarrow (ds^2 = (-1 - \frac{2M}{r}) [(dt^2 + (dr^*)^2)], \quad \text{取 } v = t + r^*, \quad u = t - r^*, \quad \Rightarrow t = \frac{1}{2}(v+u), \quad r^* = \frac{1}{2}(v-u). \quad \Rightarrow (ds^2 = -(-1 - \frac{2M}{r}) dv du).$$

不难注意到，\$t \in (-\infty, +\infty)\$, \$r^* \in (-\infty, +\infty)\$, \$v \in (0, +\infty)\$, \$u \in (-\infty, 0)\$, \$v = \exp(-bu)\$, \$u \in (-\infty, 0)\$, \$v = -\exp(-bu)\$。

$$\Rightarrow ds^2 = -B^2 \left(\frac{r-2M}{r} \right) \exp[-b(u-v)] dv du, \quad \exp[-b(u-v)] = \exp(-2bu) \left(\frac{2M}{r-2M} \right)^{q/bu} \quad \text{设 } q/bu = 1/4M, \quad u \mid \text{立刻有}, \quad ds^2 = -\frac{32M^3}{r} \exp(-r/2M) dv du.$$

当然，虫洞度量的 \$R=r(v, u)\$, \$v, u = \exp(\frac{u-v}{4M}) = \exp(\frac{u}{4M}) = -\exp(\frac{u}{4M})(\frac{u}{2M}-1)\$。从而虫洞的限制 \$\{u < v \leq 0 \mid u > 2M\}\$ 这样我们就可以将 \$u, v\$ 交换。

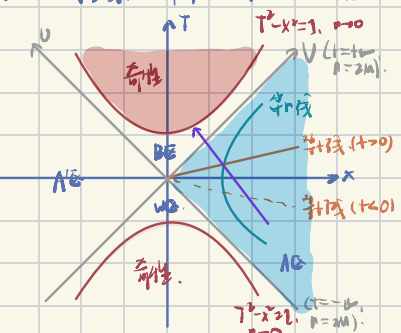
从而虫洞的区域，另外，\$r=0\$ 处不可通过物理方法消除，这相当于一个虫洞 \$r=0\$ 处的虫洞口不分离。且 Kruskal 球在 \$r>2M\$ 时已经发散，从而 \$r>0\$ 时有虫洞部分。

从而 \$u, v\$ 取值范围都 \$> 0\$ 强制 \$\Rightarrow vu < 1\$。为了方便，不妨做一下变换。

$$\text{引入 } T = \frac{1}{2}(v+u), \quad x = \frac{1}{2}(v-u), \quad \text{从而得到施瓦西度量和 Kruskal 种的线元}, \quad ds^2 = \frac{32M^3}{r} \exp(-r/2M) (-dT^2 + dx^2 + r^2(dx^2 + \sin^2\theta d\phi^2)).$$

不难看出 \$(\frac{du}{dt} = 1), \exp(\frac{u}{4M}) = x^2 - T^2\$, 从而它允许的范围是 \$x^2 - T^2 > -1\$. 由于 \$r=0\$ 无论何时 \$T \neq 0\$ 为虫洞度量消除，从而 Kruskal 球在 \$r>2M\$ 时的度量最大距离。

讨论 2D 时空间，其中每一维是一维空间。下对此图进行分析：



A区：虫洞附近时，我们研究的范围。

下面来分析虫洞附近的虫洞度量中的 Killing 田。

• 等时线为 \$u, v\$ 和 \$x\$ 的函数（只取虫洞的，忽略虫洞），与 \$u, v\$ 和 \$x\$ 的所有“直角”为基底的张量。

• 下面考虑 \$T\$ 和 \$x\$，由 \$B = 1/M\$ 得到 \$\begin{cases} u = \exp(\frac{u}{4M}), \\ v = -\exp(-\frac{u}{4M}), \end{cases} \quad \Rightarrow \begin{cases} u = 4M \ln v, \\ v = e^{u/4M}, \end{cases} \quad \text{而 } t = \frac{1}{2}(u+0) = 2M \ln \frac{v}{(v+1)}, \quad \Rightarrow 2M \ln \frac{v}{(v+1)} = 4M \ln \frac{u}{(u+1)}. \quad (\text{设 } v = e^{u/4M}).

• 通过极坐标 \$A-B, B-A\$ 和 \$B-C\$，在虫洞区域中，\$T\$ 和 \$x\$ 分别平行于虫洞度量基底 \$\{+i, +j\} \rightarrow \{+T, +x\}\$，\$T\$ 和 \$x\$ 在 \$AC\$ 处，\$\rightarrow \begin{cases} u = -\exp(\frac{u}{4M}) \frac{(v+1)}{v}, \\ v = e^{u/4M}, \end{cases} \quad \Rightarrow u = -2M \ln \frac{v}{(v+1)}\$

• 通过极坐标 \$A-B, B-C, C-A\$，在虫洞区域中，\$T\$ 和 \$x\$ 分别平行于虫洞度量基底 \$\{+i, +j\} \rightarrow \{+T, +x\}\$，\$T\$ 和 \$x\$ 在 \$AC\$ 处，\$\rightarrow \begin{cases} u = -\exp(\frac{u}{4M}) \frac{(v+1)}{v}, \\ v = e^{u/4M}, \end{cases} \quad \Rightarrow u = -2M \ln \frac{v}{(v+1)}\$

• 相应地，容易看出虫洞“直角元祖”的，即 \$W\$ 称为“直角元祖”。

$$\begin{cases} g_{11} = \left(\frac{2M}{r}\right)^2, \\ g_{22} = \left(\frac{2M}{r}\right)^2 \sin^2\theta + \left(\frac{2M}{r}\right)^2 \cos^2\theta, \end{cases}$$

$$\begin{cases} g_{33} = \left(\frac{2M}{r}\right)^2 \sin^2\theta, \\ g_{44} = \left(\frac{2M}{r}\right)^2 \cos^2\theta, \end{cases}$$

$$\begin{cases} g_{12} = \left(\frac{2M}{r}\right)^2 \sin\theta \cos\theta, \\ g_{34} = \left(\frac{2M}{r}\right)^2 \sin\theta \cos\theta, \end{cases}$$

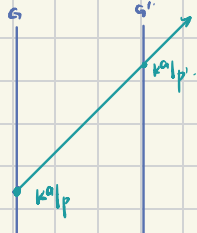
特别地，在 $B\bar{E}$, $W\bar{E}$, $g_{ab}(\frac{2}{r+2m})^2 > 0$. 从而 $\frac{\partial u}{\partial r} = (\frac{2}{r+2m})^2$ 为负定 Killing 向量. 在“射流”模型中，要使光子能由面正向的类时 Killing 向量，从而 $B\bar{E}$, $W\bar{E}$ 并非首选类时向量. 由于在 $A\bar{B}$ 区域内 $\lambda \rightarrow +\infty$ ，从而不存在类时上逆类时向量. 但是，我们仍有 $\frac{\partial u}{\partial r} = (\frac{2}{r+2m})^2 = \frac{1}{4m} [v(\frac{3}{2})^2 - v(\frac{1}{2})^2]$.

从而这个矢量在 $A\bar{B}$ 区是类时而在 $B\bar{E}$ 区是类光，在 $W\bar{E}$ 上是类光.

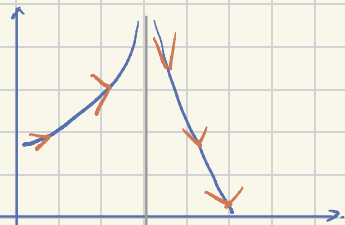
这时类时的补充改善 不对称出射线从 G 焉，从而被 G 扰乱过程中的传播. $\lambda = \frac{1-\lambda}{\lambda}$. 其中 λ 取值为 λ 的函数，且满足 $\frac{d\lambda}{dr} < 0$. $\lim_{r \rightarrow 2m} \lambda = +\infty$

的 λ 称之为“类时扰动面”.

注意：类时扰动面，即扰正并不一定有解. 例如 $\frac{\partial u}{\partial r} = \frac{2}{r+2m} + \beta(\frac{3}{2})^2$. 仍为 Killing 向量，它对应一个扰动改善，从而它对应的“类时扰动面” $\frac{\partial u}{\partial r} \hat{\lambda}_0 = 0$.



在 Kruskal 种空间中推广至更细的一般情况下的类时扰动线是简单的，而在此类问题中则相当困难.



下面，我们不妨再将另一部分讨论一下关于黑洞附近的类时向量. 通常称“类向 Eddington”类向. 因为 $v = t + rx$. 于是 $\{v, r, \theta, \phi\}$ 成为新基.

这个新基覆盖 Kruskal 和大质量的类时叶状，但可看是 $A\bar{B}$, $P\bar{E}$. 其模元 $ds^2 = -\left(1 - \frac{2m}{r}\right)dv^2 + 2dvdr$. ($v \in (-\infty, +\infty)$, r 对应 $V \in (0, +\infty)$). 而 θ, ϕ 为 $B\bar{E}$ 及 $A\bar{B}\bar{E}$.

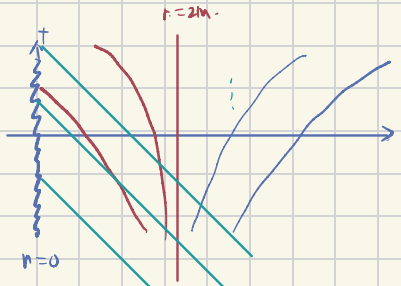
类时扰动面的类时向量 $\eta^{AB} = -\left(1 - \frac{2m}{r}\right)\left(\frac{dv}{dr}\right)^2 + 2 \cdot \frac{dv}{dr} \cdot \frac{dr}{dr} = \frac{dv}{dr} \left[-\left(1 - \frac{2m}{r}\right) \frac{dv}{dr} + 2 \cdot \frac{dr}{dr} \right]$. 从而类时扰动面满足 $\frac{dv}{dr}|_{\lambda=0} = 0$. ($(\frac{2}{r+2m})^2$ 为类时向量).

为更直观一些，我们取类时扰动面 $\lambda = N - r$. $\Rightarrow ds^2 = -\left(1 - \frac{2m}{r}\right)dt^2 + \left(\frac{4m}{r}\right)dt^2 dr + \left(1 + \frac{2m}{r}\right)dr^2$.

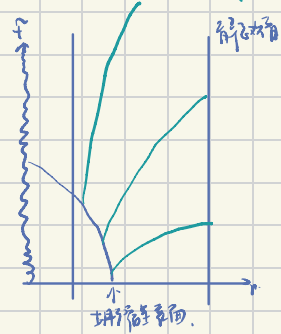
$$\frac{dr}{dt} = \frac{2r}{r+2m}.$$

从而在此条件下，类时扰动面 $\int dt/dr = 1$

$$dt/dr = (r+2m)/(r-2m). \quad (\text{令 } r = 2m \text{ 时})$$



从而在 $r=2m$ 内的运动轨迹不是单件的而是自旋分离的。由于产生的辐射是经细分的，所以将其弦 $r=2m$ 放大后可得 3D 的图。



此外，运动是朝着中心越向内，运动速度越“平缓”。
从而有一个链子或者单环，它将不断收到垂体发出的弦，至时间 t 不将以越来越快的速度趋于 $r=2m$ 。

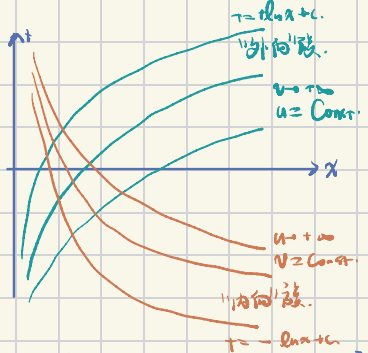
为说明研究黑洞度规的运动时我们如何会做这样的坐标变换，我们不妨先考虑一个有希望性的例子：Rindler 度规。它是黑洞时空一族与加速参考系等价的度规。

Rindler 度规的度规张量 $(ds)^2 = -x^2(dx)^2 + (dx)^2$ ，而在 $x=0$ 处 $|g_{rr}| \rightarrow 0$ ，从而奇点。

下面我们说明：Rindler 时空中，过每一点有两条是类测地线，从而全时空有两条类测地线。我们会指出这两条类测地线均不完备，从而将“类测地线”去掉“去除了某些区域，并且线将这些区域封上”。若以 x 轴上，则 $x=0$ 便是奇点。

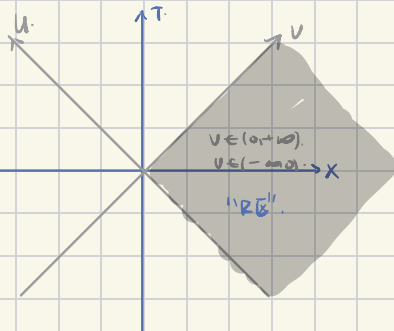
设 $\gamma(t)$ 为类测地线，入射辐射参数，有： $0 = g_{ab} \left(\frac{dx}{dt} \right)^a \left(\frac{dx}{dt} \right)^b = -x^2 \left(\frac{dx}{dt} \right)^2 + \left(\frac{dx}{dt} \right)^2$ ，得出 $\left(\frac{dt}{dx} \right) = \pm \frac{1}{x} \Rightarrow t = \pm \ln x + c$ 。

在图中简要画出这两条类测地线如下：



从而通过引入新的坐标 U, V ，我们实现了对 Rindler 度量的延拓。若进一步引入新坐标 $T = (U+V)/2$, $X = (V-U)/2$ ，从而立刻得到 $(ds)^2 = -(dT)^2 + (dX)^2$ （其实是平直度量）。

使用最初的 x, v 坐标时，实际上只是在 R 区域中的度量。



值函数 \tilde{t} 的增加，可以定义两个新坐标，分别沿“外向”线和“内向”线增加：

$$\begin{cases} U = \tilde{t} + \ln x \\ V = \tilde{t} - \ln x \end{cases}$$

从而使得在新坐标下的度量：

$$ds^2 = -\exp(U-V)dUdV, \quad U, V \in (-\infty, +\infty)$$

然而，这并非说明延拓度量是合理的，因为 U 并非此度量的自然参数，而是首先必须要求解微分方程 $(-\nu + U) = \exp(\frac{1}{2}(U-V))$ 。

如此，我们给出修正修改版。由于 Killing 矢场与度量无关，因此在该度量上成立，可写出 $E = -g_{ab}(\frac{\partial}{\partial U})^a(\frac{\partial}{\partial V})^b = \lambda^2 \frac{dU}{dX}$ 。

代入球对称 $\{X, t\} = \{U, V\}$ ，有： $d\lambda = \frac{dU - dV}{2E} \exp(U-V)$ 。根据 T 对称， $\lambda = \frac{dU - dV}{2E} \int \exp(U-V) dU = \frac{\exp(-V)}{2E} \exp(U-V)$ ，即 $V = \exp(U)$ 。

从而 V 为“外向”线的自然参数，同样，引入 $U = \exp(-V)$ ，为“内向”线的自然参数。于是 $U \in (0, +\infty)$, $V \in (-\infty, 0)$ ，从而延拓度量 $|g|$ 不需要使用 U, V 重新表述，有： $ds^2 = -dUdV$ 。然而，此时就不称为正常，所以我们将 U, V 的范围扩至全平面。